



Статьи

Функции почек в гипопрессина	68
ствості сечі і катетеризації мишій іп	73
В. П. Механизмы	85
ІЛЬКІЙ В. С. Станинні та форсовані	91
иметрів сейсмокардиографії	96
аналіз ефективності	102
ІМА А. А. Зміни в при стресі	108
ку на формування	111
курів	115
УНІВЕРСИТЕТУ	122

УДК 612.825

В. Н. Казаков, П. Я. Кравцов, И. Э. Кузнецов, А. В. Терещенко

Оценка выраженности функциональных связей между структурами головного мозга

У острих дослідах на кішках під кетаміновим наркозом вивчали реакції нейронів гіпоталамусу на подразнення деяких структур кори головного мозгу (орбітофронтальної, поясної, піриформної, а також гіпокампу). Створена нами програма персонального комп'ютера (IBM PC/AT—386) забезпечувала вибір реакції нейрону, флюктуація латентного періоду у якого не перевищувала його тривалість на задане значення (5—20 %) і при необхідності давала можливість вибрати реакції, якщо вони повторювались у серії з 20 стимулів певне число разів. Ранжирування реакцій нейронів відповідно цим ознакам дозволяє за їх числом судити про вираженість зв'язку між структурами з функціональної точки зору.

Введение

Нами в течение нескольких лет с помощью электрофизиологического метода изучались функциональные взаимоотношения различных образований лимбической системы и коры головного мозга [2, 3, 8]. Каждый раз в подобных исследованиях возникает вопрос о выраженности связи между исследуемыми структурами. Существование прямых связей можно определить на основании хорошо разработанных электрофизиологических критериев, например, по моносинаптической или антидромной активации нейрона [1, 6]. Значительно труднее обнаружить и количественно оценить слабые функциональные связи, имеющие полисинаптический характер и «малый вес» соответствующих синаптических входов. В этих случаях обычно используют различные способы суперпозиции или накопления [1, 4, 5, 7]. Широко распространенным приемом является расчет индекса ответа [1, 6], при этом, однако, чаще всего не учитывается такой важный параметр, как флюктуация латентного периода (ЛП) реакции нейрона.

Мы попытались разработать приемы классификации выборок нейронов по характеристикам их реакций на стандартизированную стимуляцию с учетом обоих упомянутых параметров — индекса ответа и вариабельности ЛП. Количественная оценка распределения нейронов по этим классам, как нам кажется, может служить показателем выраженности функциональных связей между стимулируемой и исследуемой структурами.

Методика

В качестве примера такой обработки приведем сопоставление реакций нейронов преоптической области (RPO) гипоталамуса на раздражение некоторых кортикальных образований (орбитофронтальной, поясной и пираформной коры, а также гиппокампа). В серии острых опытов на кошках под кетаминовым наркозом (25 мг/кг внутримышечно) изучали

© В. Н. КАЗАКОВ, П. Я. КРАВЦОВ, И. Э. КУЗНЕЦОВ, А. В. ТЕРЕЩЕНКО, 1992

ISSN 0201-8489. Физiol. журн. 1992. Т. 38, № 2

реакции нейронов RPO на одиночные стимулы, наносимые на указанные корковые области. Интенсивность стимуляции во всех случаях была стандартной и в 2 раза превышала пороговое значение, необходимое для возникновения в RPO фокального вызванного потенциала. Отведение, регистрацию и анализ потенциалов осуществляли, используя программно-технический комплекс, созданный нами на базе персонального компьютера IBM PC/AT 386.

Программное обеспечение позволяло проводить управляемое в ручном или автоматическом режиме перемещение отводящего микроЭлектрода, запись в память ЭВМ фоновой импульсной активности нейрона и оценку ее стационарности. В случае выполнения условий стационарности фоновой активности запускался режим стимуляции кортиальных областей. Реакции нейронов RPO исследовали при нанесении на каждую кортиальную область по 20 стимулов. Получаемые нейронограммы записывались в память компьютера с указанием номера и стереотаксических координат отводимого нейрона. Последующий анализ проводили на материале одного эксперимента по массиву реакций всех зарегистрированных в нем нейронов на стимуляцию каждой кортиальной области, что давало возможность оценить повторяемость результатов в серии экспериментов. По результатам всех экспериментов создавали суммарный массив с целью получения генерализованных данных, сравнения реакций на стимуляцию различных кортиальных областей и оценки выраженности соответствующих связей.

Для анализа массива нейронных реакций применяли специальную процедуру. ЛП реакций нейрона на каждый из 20 кортиальных стимулов измеряли и записывали в память ЭВМ. После этого измеряли отклонения ЛП каждой данной реакции от ЛП каждой из остальных реакций, и полученные результаты сортировали по относительному отклонению. Нами были приняты четыре градации относительной вариабельности ЛП: 5, 10, 15 и 20 %. Затем программа выбирала те реализации, которые повторялись с подобным ЛП (при заданной его флюктуации) определенное число раз в серии из 20 ответов на кортиальные стимулы, что позволяло определять повторяемость реакций (индекс ответа с заданной флюктуацией ЛП). Индекс ответа мог варьироваться в широких пределах — от 0 до 100 %. Были приняты три возрастающие градации повторяемости: 25, 50 и 75 %, что соответствовало 5, 10 или 15 реакциям из серии ответов на 20 кортиальных стимулов.

Таким образом, были сформированы два дискретно задаваемых критерия (вариабельность ЛП и индекс ответа), на основании которых сортировали нейронные реакции, а нейроны, генерировавшие их, ранжировали по различным классам; вычисляли число нейронов в каждом классе при каждом виде кортиальной стимуляции, соотношение единиц в каждом классе в пределах суммарного массива отведенных нейронов. Оценка относительного числа нейронов, попадающих в разные классы, которые выбирали на основании размаха флюктуации ЛП и значения индекса разряда реакций нейронов, давала возможность, с одной стороны, определить вероятностную структуру ответной реакции нейронов и, с другой, — выделить наиболее стабильные (жестко детерминированные) реакции нейронов на те или другие кортиальные стимулы. Для удобства представления материала строили трехмерные гистограммы, где на осах X, Y и Z откладывали относительные флюктуации ЛП, число нейронов и помечали стимулируемые кортиальные структуры соответственно.

Результаты и их обсуждение

В таблице приведено относительное число нейронов, попадавших в различные классы в зависимости от параметров выбора реакций. Здесь же приведены значения среднего индекса ответа нейронов, который вычисляется при усреднении индексов разрядов реакций каждого нейрона, выбранного на основании размаха вариации ЛП.

При анализе выяснился индекс разряда 25 % промежутка для выявления слабых реакций. Поэтому остановимся на установлении, что относительный индекс разряда 25 % (при индексе ответа 25 %) соответствует всем реакциям, которые при индексе ответа 25 % не выявляются. Средний индекс разряда 25 % (при индексе ответа 25 %) соответствует всем реакциям, которые при индексе ответа 25 % не выявляются. Это же иллюстрирует зависимость, описанную в работе [1], что различные реакции отвечают на различные стимулы к различным классам индекса ответа, состоящие из повторяющихся реакций (50 %), картина которых реакций на разные стимулы (рисунок, б). Средний индекс ответа 25 % соответствует и находится в таблице.

Относительное число нейронов при выборке реакций с различной повторяемостью кортиальных структур

Повторяе- мость реак- ций	Относительный разбросом ±	
	5 %	10 %
20*	11	33
25*	8	17
30	8	14
40	—	3
50	—	3
60	—	—
20*	26	45
25*	19	31
30	17	17
40	5	7
50	2	7
60	—	—
20*	26	41
25*	15	28
30	13	15
40	13	15
50	11	11
60	6	6
75	2	2
20*	20	41
25*	16	29
30	14	22
40	12	14
50	8	10
60	4	6
75	—	2

* Значения среднего индекса ответа при возрастании повторяемости

, наносимые на указан-
ции во всех случаях бы-
е значение, необходимое
го потенциала. Отведе-
ствляли, используя про-
ти на базе персонально-

водить управляемое в-
ение отводящего микро-
ульской активности ней-
шнения условий ста-
жем стимуляции кор-
следовали при нанесе-
стимулов. Получаемые
ютера с указанием но-
го нейрона. Последую-
ксперимента по массиву
ов на стимуляцию каж-
ность оценить повторяе-
результатам всех экспе-
ю получения генерали-
ляцию различных кор-
ответствующих связей.
применили специальную
20 кортикальных стиму-
сле этого измеряли от-
ждой из остальных ре-
относительному откло-
носительной вариабель-
абирада те реализации,
анной его флюктуации)

а кортикальные стиму-
лакций (индекс ответа
г варьировать в широ-
и возрастающие града-
ствовало 5, 10 или 15
стимулов.

дискретно задаваемых
на основании которых
неривавшие их, ран-
ло нейронов в каждом
и, соотношение единиц
отведенных нейронов.
ших в разные классы,
ации ЛП и значения
ность, с одной стороны,
ции нейронов и, с дру-
рмированные) реак-
тимулы. Для удобства
ограммы, где на осах
о ЛП, число нейронов
ктуры соответственно.

ов, попадавших в раз-
ра реакций. Здесь же
онов, который вычис-
кий каждого нейрона,

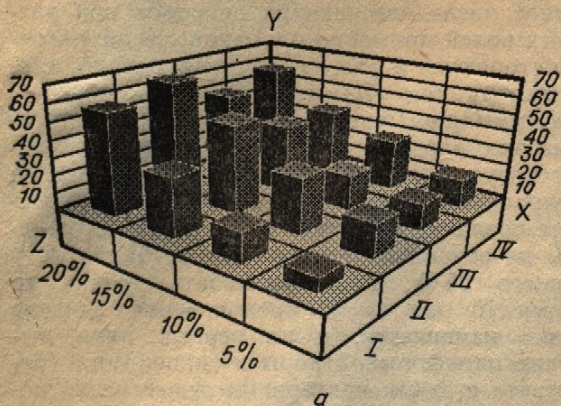
При анализе выяснилось, что параметры класса, соответствующие индексу разряда 25 % при флюктуации ЛП до 20 %, были критически-
ми для выявления слабых (возникающих с малой вероятностью) реак-
ций. Поэтому остановимся прежде всего на параметрах этого класса. Установлено, что относительное число отвечающих нейронов при раз-
дражении различных корковых полей примерно одинаково, если учиты-
вать все реакции, которые повторяются 5 раз из 20 предъявлений, т. е.
при индексе ответа 25 % и флюктуации ЛП до 20 % (см. таблицу). Средний индекс разряда при суммарном учете всех реакций, отбираемых при данных условиях выбора, варьировал от 37 до 66 % (см. та-
блицу). Это же иллюстрирует рисунок, а, где графически представлена описанная зависимость между относительным числом нейронов, кото-
рые отвечают на раздражение различных кортикоальбиноидных структур, отне-
сенных к различным классам на основании размаха флюктуаций ЛП и индекса ответа, составляющего 25 %. Если учитывать только те ре-
акции, которые повторяются 10 раз из 20 предъявлений (индекс ответа 50 %), картина резко изменяется, и на первый план вы-
ходят реакции на раздражение пириформной коры и гиппокампа (ри-
сунок, б). Средний индекс ответа с этими критериями существенно по-
вышается и находится в диапазоне 55—75 % (см. таблицу). При вы-

Относительное число нейронов (%) и средний индекс ответа нейронов (%)
при выборке реакций с различным разбросом латентного периода (5—20 %)
и разной их повторяемостью в ответ на раздражение различных
кортикоальбиноидных структур

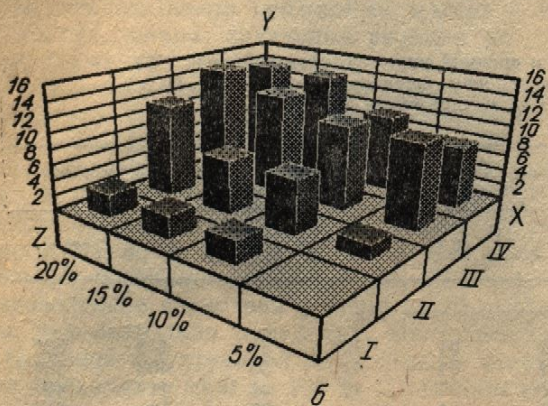
Повторяе- мость реа- кций	Относительное число нейронов с разбросом латентного периода				Средний индекс ответа с разбросом латентного периода			
	5 %	10 %	15 %	20 %	5 %	10 %	15 %	20 %
Прореальная извилина								
20*	11	33	53	64	42*	37	41*	53*
25*	8	17	33	54	41	38	40	50*
30	8	14	22	36	42	41	41	48
40	—	3	3	14	—	55	70	51
50	—	3	3	3	—	65	70	75
60	—	—	3	3	—	—	75	75
Поясная кора								
20*	26	45	67	79	47*	46*	52*	56*
25*	19	31	50	66	51*	44	52*	53
30	17	17	31	42	46	49	46	53
40	5	7	12	17	50	60	60	61
50	2	7	7	12	55	62	65	62
60	—	—	5	5	—	—	70	75
Пириформная кора								
20*	26	41	59	70	52	44	48	56*
25	15	28	39	58	66	60	50	55
30	13	15	26	37	66	60	50	55
40	13	15	15	20	67	65	70	68
50	11	11	13	15	72	73	72	71
60	6	6	6	9	82	83	87	80
75	2	2	4	4	100	100	98	98
Гиппокамп								
20*	20	41	61	69	57*	46	48*	54*
25*	16	29	39	59	62*	51	53*	49
30	14	22	31	41	59	54	52	54
40	12	14	20	24	62	63	61	64
50	8	10	14	14	63	66	68	69
60	4	6	6	10	65	72	73	72
75	—	2	2	2	—	85	90	90

* Значения среднего индекса ответа, после которого начинается его линейный рост
при возрастании повторяемости реакций.

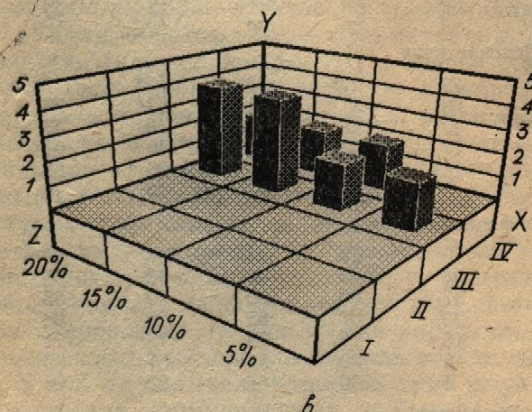
борке реакций, повторяющихся 15 раз из 20 предъявлений (индекс ответа 75 %), выявлялись реакции только на раздражение пириформной коры и гиппокампа, хотя и в небольшом количестве (рисунок, в). Средний индекс таких ответов находился в диапазоне 85—100 %.



а



б



в

Относительное число нейронов, отвечающих на раздражение различных корковых областей, в зависимости от повторяемости возникающих реакций и разброса длительности латентного периода: а — повторяемость реакций из числа предъявлений (индекс разряда) — 25 %, б — то же — 50 %, в — 75 %. По осям: Y — число реагирующих нейронов, %; X — разброс латентного периода — 5, 10, 15, 20 %; Z — структуры (I — прореальная извилина, II — поясная кора, III — пириформная кора, IV — гиппокамп).

Заслуживает внимания примерно линейное увеличение среднего индекса ответа при росте повторяемости реакций, но происходит это на границе между 20 и 25 % (см. таблицу). По-видимому, с одной стороны, это та граница, ниже которой наличие регулярной реакции нейрона становится вообще сомнительным. С другой стороны, параметры выбора реакций, соответствующие индексу ответа 75 % и флюктуации ЛП 10 %, вероятно, соответствуют границе, выше которой реакции нейронов являются либо антидромными, либо моносинаптическими.

Приведенные результаты и гиппокамп имели тальная и поясная в денные с помощью. Таким образом, иностранные судить о нальных позиций.

V. N. Kazakov, P. Ya. Krapivin
ESTIMATION OF PROFOUND RELATIONS BETWEEN CORTICAL AREAS

Responses of hypothalamic, frontal (area 8), cingulum (field CA3) were studied. 1) elaborated for IBM PC/XT the latent period variation of repeated neurone reactions to electrical stimuli; 2) ranging of estimation of the priority functional relations between cortical areas.

M. Gorky Medical Institute of Health of the Ukraine, Donetsk

СПИСОК ЛИТЕРАТУРЫ

1. Волошин М. Я. Электроэнцефалография в эксперименте.— Киев: Наукова думка, 1978.
2. Казаков В. Н., Кравцов В. А. Роль фронтально-базальных областей в формировании временных связей. — Сб. науч. тр. № 1.— С. 44—53.
3. Казаков В. Н., Крахотина Е. А. Повторяющаяся характеристика гиппокампального ядра у кошки. — Известия АН УССР. Сер. биол. наук, 1982, № 1.— С. 10—14.
4. Кратин Ю. Г., Гусельникова Е. А. Повторяющиеся временные связи в коре головного мозга кошки. — Наука, 1971.— 318 с.
5. Мещерский Р. М. Анализ временных связей в коре головного мозга кошки. — Известия АН УССР. Сер. биол. наук, 1982, № 1.— С. 15—19.
6. Berry M. S., Pentreath V. W. Polysynaptic transmission in the hippocampus. — J. Physiol., 1969, 200, Pt. 1.— P. 157.
7. Dawson G. D. Cerebral cortex. — London: Churchill Livingstone, 1972.
8. Kazakov V. N., Krapivin P. Ya. Estimation of the priority functional relations of the hippocampal system. — J. Neurosci., 1990.— P. 157.

Донецк. мед. ин-т им. М. Г. Гаранько. Ученые работники УМЗЧУ

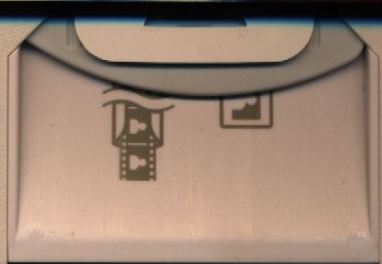
УДК 534.1:577.44+612.82:577.1
М. И. Сафаров, С. А. Ке

Влияние вибрации на гиппокамп

Вивчають вплив вібрації системи ГАМК на поширення інтенсивності вібрації (порівняно з дією тетадекарбоксимідів)

© М. И. САФАРОВ, С. А. КЕ

ISSN 0201-8489. Физiol. журн. 1992. Т. 38, № 2



предъявлений (индекс от-
раздражение пириформной
части (рисунок, в). Сред-
изоне 85—100 %.

Приведенные результаты свидетельствуют о том, что пириформная кора и гиппокамп имеют более тесные связи с RPO, чем орбитофронтальная и поясная кора, что подтверждается исследованиями, проведенными с помощью иных методических приемов [2, 3, 8].

Таким образом, предлагаемый метод дает возможность более разносторонне судить о выраженности связей в головном мозгу с функциональных позиций.

V. N. Kazakov, P. Ya. Kravtsov, I. E. Kuznetsov, A. V. Tereshchenko

ESTIMATION OF PROFUNDITY OF FUNCTIONAL RELATIONS BETWEEN CEREBRAL STRUCTURES

Responses of hypothalamic neurons to single (1/s, 20 impulses) stimulation of the prefrontal (area 8), cingulum (area 24), periamigdaloideus (RPA) cortex and hippocampus (field CA3) were studied on experimental cats anesthetized with ketamine. The routine elaborated for IBM PC/AT 386 provided: 1) selection of such neurone reaction with the latent period variation less than its length per the set value (5-20 %); 2) selection of repeated neurone reactions with the same variability of latent periods from 20 cortical stimuli; 3) ranging of neurone reactions according to these indices. Quantitative estimation of the priority ranges made it possible to determine the profundity of the functional relations between the cerebral structures.

M. Gorky Medical Institute, Ministry of Public Health of the Ukraine, Donetsk

СПИСОК ЛИТЕРАТУРЫ

1. Волошин М. Я. Электрофизиологические методы исследования головного мозга в эксперименте.—Киев : Наук. думка, 1987.—192 с.
2. Казаков В. Н., Кравцов П. Я. Реакции нейронов ядер гипоталамуса на раздражение фрonto-базальных отделов коры головного мозга // Нейрофизиология.—1978.—10, № 1.—С. 44—53.
3. Казаков В. Н., Крахоткина Е. Д., Кравцов П. Я., Андреева В. Ф. Морфо-функциональная характеристика связей фрonto-базальных отделов коры головного мозга с гипоталамусом у кошки // Физиол. журн.—1986.—32, № 2.—С. 129—137.
4. Кратин Ю. Г., Гусельников В. И. Техника и методика электроэнцефалографии.—Л. : Наука, 1971.—318 с.
5. Мещерский Р. М. Анализ нейропной активности.—М. : Наука, 1972.—222 с.
6. Berry M. S., Pentreath V. W. Criteria for distinguishing between monosynaptic and polysynaptic transmission // Brain Res.—1976.—105, N 1.—P. 1—20.
7. Dawson G. D. Cerebral responses to electrical stimulation of peripheral nerve in man // J. Neurol., Neurosurg. and Psychiat.—1947.—10, N 1.—P. 137—140.
8. Kazakov V. N., Kravtsov P., Borodiy N. et al. Functional organization of some afferent systems of the hypothalamus // Abs. IIth Congress of AOPS.—New Delhi, 1990.—P. 157.

Донец. мед. ин-т им. М. Горького
М-ва здравоохранения Украины

Материал поступил
в редакцию 12.07.91

УДК 534.1:577.44+612.82:577.17

М. И. Сафаров, С. А. Керимов

Влияние вибрации на обмен ГАМК мозга крыс при гипо- и гиперкальциемии

Вивчали вплив вібрації (30 хв, 20 Гц, $A=0,4$ мм) на вміст компонентів системи ГАМК і дикарбовані амінокислот у тканині мозку дорослих щурів-самців при гіпо- та гіперкальциємії. Передбачається, що вживання глуконата кальцію ослаблює стресорний вплив середньочастотної вібрації на організм і тим самим призводить до зниження (порівняно з дією вібрації) вмісту ГАМК та активності ферменту глутаматдекарбоксилази у структурах мозку.

© М. И. САФАРОВ, С. А. КЕРИМОВ, 1992

ISSN 0201-8489. Физиол. журн. 1992. Т. 38, № 2

е увеличение среднего
й, но происходит это на
одному, с одной сторо-
нной реакции нейро-
стороне, параметры вы-
75 % и флюктуации ЛП
торой реакции нейро-
наптическими.